

Н. В. МАКСИМЧУК, д. т. н. [А. Н. ШМЫРЕВА],
к. т. н. А. В. БОРИСОВ

Украина, НТУУ «Киевский политехнический институт»
E-mail: lejanel@ukr.net

Дата поступления в редакцию
03.06 2010 г.

Оппонент к. ф.-м. н. О. Б. ОХРИМЕНКО
(ИФП им. Лашкарёва, г. Киев)

СВОЙСТВА И ПРАКТИЧЕСКОЕ ПРИМЕНЕНИЕ НАНОКРИСТАЛЛИЧЕСКИХ ПЛЕНОК ОКСИДА ЦЕРИЯ

Установлены основные закономерности формированияnanoструктурных пленок CeO_x с управляемыми физическими свойствами, что расширяет область их применения для создания сенсоров различного назначения.

Оксид церия с уверенностью можно назвать многофункциональным материалом исходя из его широкого практического применения в оптике, электронике и, особенно, для реализации сенсоров газа, влажности, температуры и радиационных дозиметров. Высокое значение диэлектрической проницаемости этого материала (15—52, в зависимости от условий получения) и высокое качество его эпитаксиального слоя на кремнии открывает перспективы для будущих микроэлектронных применений, например в качестве малоразмерных стабильных конденсаторов хранения в устройствах динамической памяти, альтернативных дизелектриков в КМОП-устройствах, в структурах SOI (кремний-на-диэлектрике) [1—5]. Сходство кристаллических решеток оксида церия и кремния позволяет использовать CeO_2 для гетеро-эпитаксиального выращивания монокристаллических пленок или буферных слоев [3, 6]. Такие пленки применяют для создания полевых транзисторов, МДП-варакторов и фотоваракторов, поскольку материал имеет ряд важных преимуществ по сравнению с диоксидом и нитридом кремния. Его высокая диэлектрическая проницаемость и, соответственно, большая электрическая прочность дают возможность использовать более тонкие диэлектрические слои. Ширина запрещенной зоны $E_g = 3,6$ эВ обуславливает лучшую диэлектрическую изоляцию структуры и уменьшает ток утечки через диэлектрик. Материал обладает химической стойкостью в кислотно-щелочных средах и непроницаемостью для подвижных ионов натрия. Большая плотность поверхностных чувствительных центров у пленок CeO_x (до 10^{20} см^{-2}) обуславливает более высокую pH-чувствительность сенсоров на основе ионоселективных полевых транзисторов (ИСПТ). Параметр расхождения постоянных решетки CeO_2 и кремния достаточно мал — $\Delta a/a = 0,35\%$, что обеспечивает лучшую адгезию с кремнием и, как следствие, уменьшение плотности поверхностных соединений, увеличение крутизны вольт-амперных харак-

теристик сенсоров на основе ИСПТ. Кроме того, следует отметить высокую термическую и химическую стабильность, качественную иммобилизацию биохимических элементов при создании биосенсоров [7].

Практическое применение нанокристаллических пленок оксида церия не ограничивается вышеуказанным. Так, на их основе авторами были разработаны новые типы фоточувствительных элементов (фоторезисторы и фотодиоды) для биолюминесцентных сенсорных систем [8—10]. Такие пленки заслуживают особого внимания, поскольку в связи с квантово-размерными эффектами они приобретают новые функциональные свойства, не характерные для монокристаллических, микрокристаллических и аморфных структур. Наноструктурные пленки могут иметь гораздо большую электропроводность, радиационную стойкость и стабильность, чем химически идентичные им порошковые и объемные материалы. Их применение перспективно в материаловедении и в физике твердого тела.

Целью настоящей работы было исследование закономерностей формирования пленок оксида церия и влияния их структурных свойств на физические характеристики созданных высокоэффективных сенсорных преобразователей.

Технология получения тонких пленок CeO_x

Тонкие пленки оксида церия, в зависимости от их назначения, получали двумя технологическими способами: методом вакуумного «взрывного испарения» — для создания биолюминесцентных сенсоров, и методом «окисления металлического зеркала» — для изготовления внешнего затворного диэлектрика ионоселективных полевых транзисторов. Для создания МДП-фотодиодов применяли оба метода.

По технологии «взрывного испарения» (метод «вспышки») пленки CeO_x толщиной 200—500 нм получали из соответствующих порошкообразных смесей и соединений [12—14]. Испарение проводилось в вакууме порядка 10^{-3} — 10^{-2} Па. Пленки оксида церия осаждали при температуре от 175 до 300°C на подложках разных типов — монокристаллическом кремнии с пленками оксида кремния, монокристаллическом *p*- и *n*-кремнии.

Омические контакты к слоям оксида церия изготавливали путем осаждения пленок титана и никеля методом электронно-лучевого испарения. К контактным

МАТЕРИАЛЫ ЭЛЕКТРОНИКИ

площадкам припаивались электрические выводы, поверхность защищалась тонким слоем прозрачного компаунда.

Тонкие нанокристаллические пленки оксида церия для применения в качестве внешнего затворного диэлектрика ИСПТ, получали методом «окисления металлического зеркала», при котором сначала электронно-лучевым испарением осаждаются тонкие пленки церия. Такая технология довольно проста, процесс не занимает много времени и позволяет использовать стандартное оборудование при относительно низкой температуре. Полученные пленки отличаются равномерностью по толщине, однородностью параметров и близким к стехиометрическому составом. Для обеспечения равномерности толщины пленки напыление церия проводилось в два этапа в разных направлениях. После первого этапа пластины поворачивались на 180° в горизонтальной плоскости. Давление в камере составляло 10^{-5} Па, ток эмиссии — 140 мА, ускоряющее напряжение — 12 кВ, температура подложки поддерживалась на уровне 160°C . После напыления пленки подложки выдерживались при этой температуре в течение 10 мин. Окисление церия происходило в диффузационной печи при температуре 300°C в кислородной среде.

Для стабилизации отклика ИСПТ пленку оксида церия наносили на тонкий слой оксида кремния, который предварительно выращивали на подложке методом термического окисления.

Исследование структурных свойств пленок CeO_x

Микроструктура пленок CeO_x , полученных указанными методами при разной температуре подложки, изучалась с помощью сканирующего электронного микроскопа (СЭМ) JEOL JSM 6490LV (ускоряющее напряжение составляло 20 кВ) и трансмиссионного электронного микроскопа (ТЭМ) ПЭМ-В-М с разрешающей способностью 0,21 нм и ускоряющим напряжением 125 кВ.

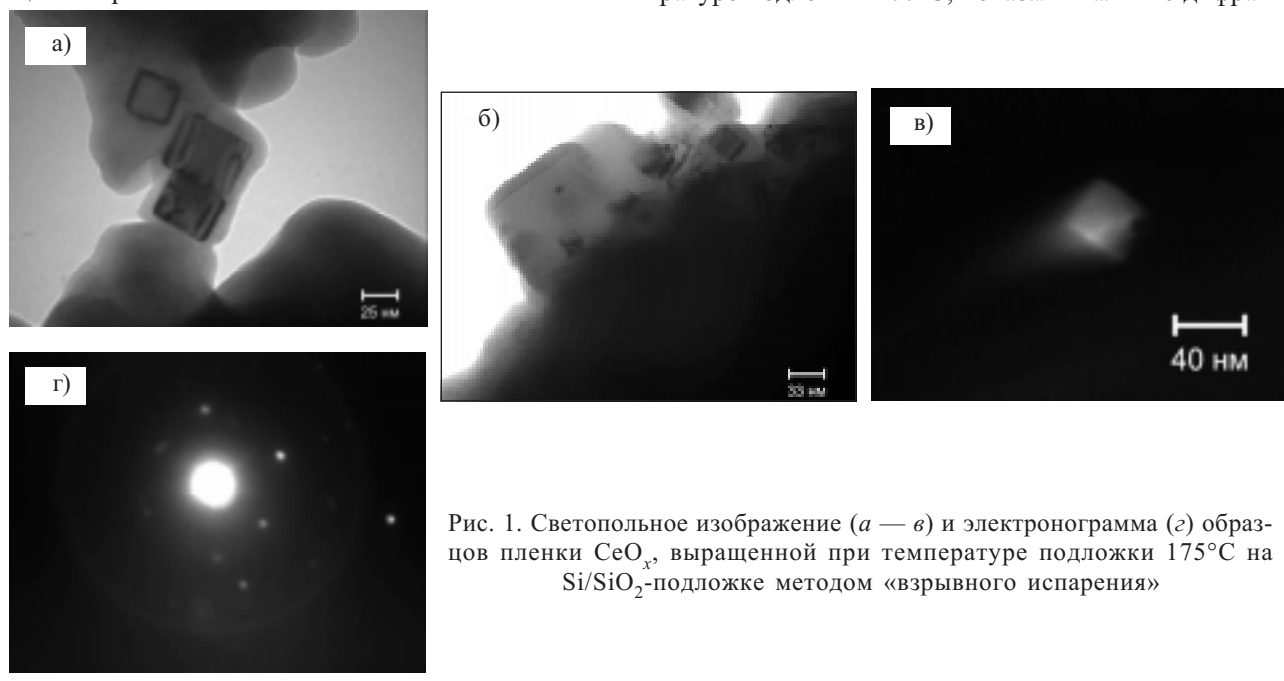


Рис. 1. Светопольное изображение (a — в) и электронограмма (г) образцов пленки CeO_x , выращенной при температуре подложки 175°C на Si/SiO_2 -подложке методом «взрывного испарения»

СЭМ-анализ показал, что оба метода позволяют получать качественные, плотноупакованные пленки оксида церия, которые характеризуются гомогенностью по толщине и составу. Однако наиболее однородными были пленки, осажденные на подложки монокристаллического кремния с-Si, и пленки, изготовленные по технологии «окисление металлического зеркала».

На светопольных и темнопольных ТЭМ-изображениях структуры пленок, полученных методом «взрывного испарения» при температуре подложки 175°C (рис. 1, а — в), наблюдается аморфная матрица с гранецентрированными нанокристаллами CeO_2 кубической формы, расположенным попарно (рис. 1, б). Это подтверждается наличием гало от аморфной фазы и дифракционных пятен от плоскостей {111} пары кристаллов на дифрактограмме пленок (рис. 1, г). Средний размер нанокристаллов CeO_2 составляет 36 нм.

Анализ ТЭМ-изображений микроструктуры пленок, полученных методом «взрывного испарения» при температуре 200°C (рис. 2) показал, что пленки представляют собой поликристалл с хаотически расположеными нанозернами размером от 10 до 40 нм. Соответствующая электронограмма приведена на рис. 2, б. Наблюдаемые прерывистые кольца свидетельствуют о микрокристаллической (наноразмерной) структуре пленок.

По данным ТЭМ-исследования установлено, что пленки, полученные методом «взрывного испарения» при температуре подложки 175°C , состоят из аморфной и кристаллической фаз, т. е. аморфной матрицы, в которой расположены нанокристаллы, тогда как пленки, изготовленные по той же технологии при 200°C , имеют нанокристаллическую структуру.

Рентгеноструктурный анализ выполнялся на Х-дифрактометре модели DMAX-B (Япония). Исследования пленок оксида церия, полученных при температуре подложки 200°C , показали наличие дифрак-

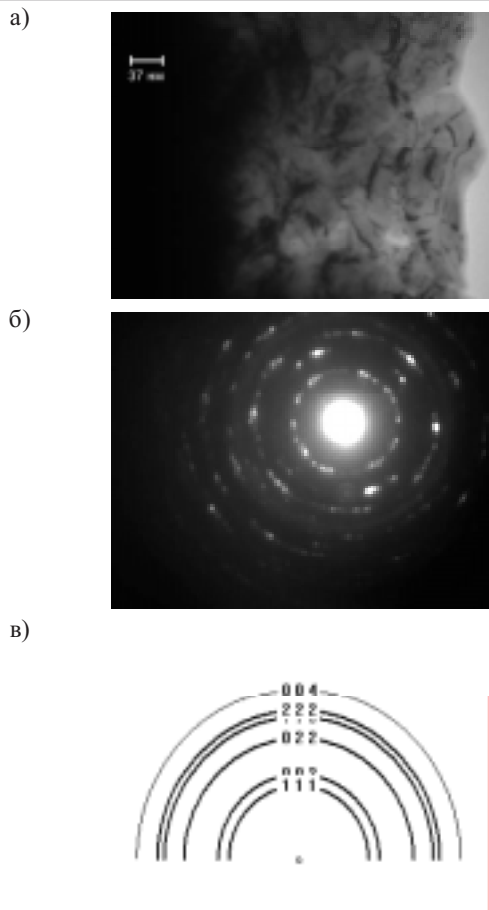


Рис. 2. Микроструктура пленки CeO_x , полученной на Si/SiO_2 -подложке при температуре 200°C методом «взрывного испарения» (а), экспериментальная (б) и модельная (в) электронограммы

ционных рефлексов, характерных для поликристаллической фазы CeO_2 [15]. Наибольшей интенсивностью характеризовались пики испускания при $2\theta=28,7^\circ$ от плоскостей $\{111\}$, что свидетельствует о доминирующей ориентации нанозерен пленки вдоль этой плоскости.

Известно, что разные фазы оксида церия — Ce_2O_3 и CeO_2 — имеют разные электронные структуры запрещенной зоны, а точечные дефекты приводят к образованию локализованных состояний в запрещенной зоне [16]. Поэтому были проведены исследования электронной структуры и состава полученных пленок с использованием метода рентгеновской фотоэлектронной спектроскопии (РФЭС) на электронном спектрометре «SERIES 800 XPS» Kratos Analytical [17]. Абсолютная разрешающая способность спектрометра, которая определялась как ширина кривой на половине высоты линии $\text{Ag}3\text{d}_{5/2}$, равняется 1,1 эВ, точность определения энергии связи не превышала 0,1 эВ. Энергия связи электронов E_b калибровалась по стандартной линии C1s электронов графита на поверхности исследованных образцов и составляла 284,5 эВ. Источником излучения служила рентгеновская трубка с магниевым анодом ($U=12$ кВ, $I=30$ мА), использующая неменохроматическое Mg-излучение с энергией 1253,6 эВ.

Анализ состава нанокристаллических пленок оксида церия показал, что в зависимости от метода получения пленки и технологических режимов (прежде всего, от температуры подложки) изменяется соотношение концентраций ионов Ce^{3+} и Ce^{4+} в пленках CeO_x , причем это отражается на их электронной структуре. РФЭС-анализ пленок, выращенных при температуре подложки 175°C , выявил Ce_2O_3 -фазу и слабые пики, которые характеризуют конечные состояния Ce^{4+} [18], что согласуется с данными ТЭМ-анализа о наличии аморфной матрицы с вкраплениями нанокристаллов CeO_2 . Таким образом, фаза Ce_2O_3 , выявленная с помощью РФЭС-метода, аморфная. Однако у пленок оксида церия, полученных при температуре 200°C , как ТЭМ-, так и РФЭС-анализы показали наличие нанокристаллической фазы CeO_2 со структурным типом Fm3m.

Фотоэлектрические свойства пленок оксида церия

Фотоэлектрические свойства любых пленок существенно зависят от их химического состава, а также от микроструктуры и морфологии, которые определяются, прежде всего, технологическими режимами получения пленки. Именно поэтому было исследовано влияние микроструктуры тонких пленок оксида церия на их фотоэлектрические характеристики.

Как показали ТЭМ-, РФЭС- и рентгеноструктурный анализы, в пленках оксида церия в зависимости от температуры подложки может существовать как одна поликристаллическая фаза, так и два структурных компонента — кристаллический (представленный кристаллитами CeO_2) и межкристаллитный (Ce_2O_3). Поскольку свойства этих фаз значительно отличаются, их соотношение определяет электрические и фотоэлектрические свойства пленок. При уменьшении линейных размеров кристаллитов доля межкристаллитной фазы существенно возрастает. Как показывают многочисленные исследования, межкристаллитная фаза представляет собой стекловидную среду с изотропными свойствами, а нанокристаллический материал представляет собой изотропную матрицу со случайно расположенным вкраплением кристаллической фазы [19].

Для исследования влияния на фотоэлектрические свойства пленок оксида церия их микроструктуры и типа подложки снимались передаточные и люкс-амперные характеристики (ЛАХ) при облучении пленок белым и синим светом [8—10]. По ЛАХ были вычислены коэффициенты фоточувствительности $K_{\text{фн}}$ пленок CeO_x , осажденных на подложках разных типов (рис. 3). Максимальная фоточувствительность к белому и синему свету обнаружена у нанокристаллических пленок, полученных при температуре подложки 200°C независимо от ее типа.

На базе тонких нанокристаллических пленок CeO_x были реализованы относительно дешевые миниатюрные фотодиоды для регистрации биолюминесценции, которые в отличие от традиционных фотоэлектронных умножителей не нуждаются в высоковольтных источниках питания. Разработанные фотодиоды способны регистрировать слабые биолюминес-

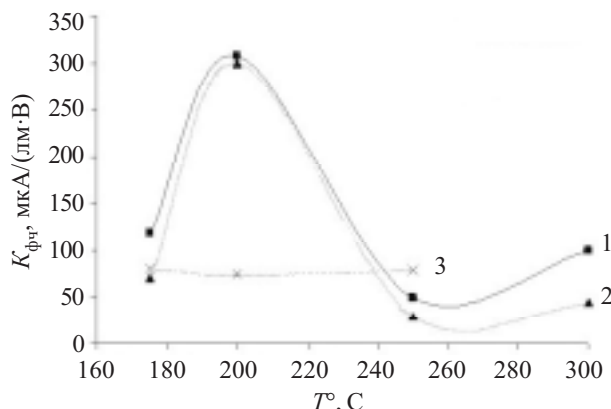


Рис. 3. Зависимость коэффициента фоточувствительности пленок оксида церия от температуры подложки для разных ее типов:
1 — SiO_2 ; 2 — $n\text{-Si}$; 3 — $p\text{-Si}$

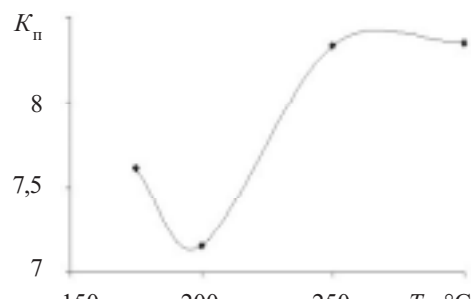
центные сигналы на уровне освещенности 600 квантов/($\text{с}\cdot\text{см}^2$) [8—10].

Характеристики МДП-структур на основе пленок оксида церия

Главным фактором, который влияет на чувствительность и стабильность сенсоров на основе МДП-структур, являются процессы, происходящие на границе раздела «полупроводник — диэлектрик». Поэтому и к этой границе, и к материалу диэлектрика предъявляются повышенные требования.

Свойства границы раздела «полупроводник Si — диэлектрик CeO_x » изучались методом вольт-фарадовых характеристик. Измерения проводились на частоте 1,2 МГц.

a)



б)

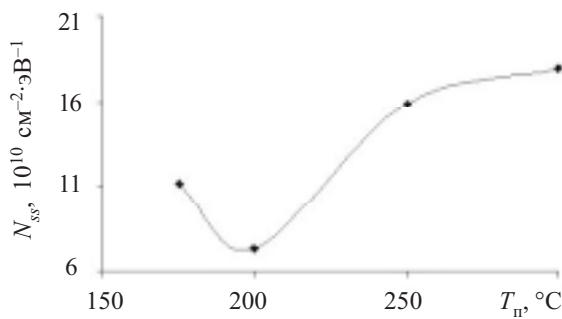


Рис. 4. Зависимости коэффициента перекрытия (а) и плотности поверхностных состояний (б) от температуры подложки для МДП-структур, полученных с помощью метода «взрывного испарения»

Исследования влияния температуры Si-подложки на коэффициент перекрытия по емкости $K_n = C_{\max}/C_{\min}$ и плотность поверхностных состояний на границе раздела «диэлектрик — полупроводник» N_{ss} для МДП-структур (рис. 4), изготовленных методом взрывного испарения, показывают, что в рассматриваемом диапазоне температуры коэффициент перекрытия МДП-структур зависит от температуры подложки и лежит в пределах 7,6—8,4, что приблизительно в 2 раза больше, чем у структур на основе SiO_2 . Характер зависимости от T_n плотности поверхностных состояний N_{ss} исследуемых МДП-структур аналогичен зависимости $K_n(T_n)$: минимальное значение N_{ss} наблюдалось для пленок CeO_x , выращенных при температуре подложки 200°C, а увеличение температуры подложки приводит к увеличению плотности поверхностных состояний, что обусловлено морфологическими изменениями структуры пленки, в частности увеличением степени поликристалличности (т. е. отношения объема кристаллической фазы к объему аморфной фазы в пленке).

Однако для МДП-структур, полученных с помощью метода «окисления металлического зеркала», характерно снижение плотности поверхностных состояний на порядок ($N_{ss} = 6,8 \cdot 10^{10} \text{ см}^{-2} \cdot \text{эВ}^{-1}$) и рост K_n более чем в 3 раза по сравнению со структурами, пленки CeO_x которых были изготовлены по технологии «взрывного испарения». Это свидетельствует о значительном улучшении качества границы раздела «полупроводник — диэлектрик» и технологичности метода «окисления металлического зеркала» для получения тонких пленок оксида церия.

Были проведены также исследования зависимости коэффициента выпрямления от температуры подложки диодных МДП-структур, диэлектрическая пленка CeO_x которых изготавлялась по технологии «взрывного испарения» (рис. 5). Максимальное значение коэффициента выпрямления (1875) наблюдалось при температуре подложки 200°C, что объясняется повышенной электропроводностью таких структур при прямом смещении за счет нанокристаллической микроструктуры пленки CeO_x .

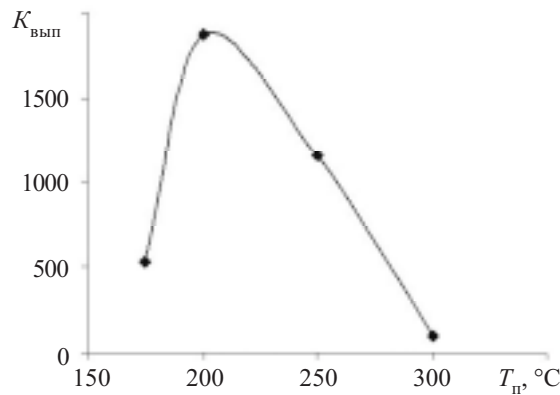


Рис. 5. Зависимость коэффициента выпрямления МДП-фотодиодов от температуры подложки для образцов, полученных методом «взрывного испарения»

МАТЕРИАЛЫ ЭЛЕКТРОНИКИ

Параметры МДП-структур на основе пленок оксида церия на монокристаллическом кремнии, полученных разными методами

Тип структуры	Метод нанесения	$T_n, ^\circ\text{C}$	ϵ	$K_{вып}$	K_n	$N_{ss}, \text{см}^{-2} \cdot \text{эВ}^{-1}$
c-Si—CeO _x , КЭФ 4,5/0,1	Взрывное испарение	175	10,6	533	7,61	$1,12 \cdot 10^{11}$
c-Si—CeO _x , КЭФ 4,5/0,1	Взрывное испарение	200	9,5	1875	7,15	$7,32 \cdot 10^{10}$
c-Si—CeO _x , КЭФ 4,5/0,1	Взрывное испарение	250	9,6	1154	8,33	$1,59 \cdot 10^{11}$
c-Si—CeO _x , КЭФ 4,5/0,1	Взрывное испарение	300	8,5	100	8,35	$1,85 \cdot 10^{11}$
c-Si—CeO _x , КДБ 10/0,1	Окисление металлического зеркала	160	15	4800	13	$6,8 \cdot 10^{10}$
c-Si—SiO ₂	Термическое окисление	1100—1300	3,9	2500	≈ 4	10^{11} — 10^{12}

Однако максимальные значения коэффициента выпрямления (4800), диэлектрической проницаемости (15), коэффициента перекрытия по емкости (13) и минимальная плотность поверхностных состояний на границе «полупроводник — диэлектрик» ($6,8 \cdot 10^{10} \text{ см}^{-2} \cdot \text{эВ}^{-1}$) достигались в пленках CeO_x, полученных по технологии «окисления металлического зеркала» [7].

Практическое применение нанокристаллических пленок CeO_x

На базе разработанных полупроводниковых фотоприемников был реализован и исследован портативный электронный биолюменометрический комплекс, использующий живые организмы (дафнии и биолюминесцентные бактерии) для определения концентрации токсических веществ [20]. Принцип работы сенсоров такого вида основан на регистрации интенсивности биолюминесценции, которая возникает в результате взаимодействия метаболитов дафний и люминола при активации процесса с помощью перекиси водорода. Минимальный порог чувствительности такого метода к патулине составляет 0,1 мг/л за 2 ч и 0,01 мг/л за 6 и 24 ч эксперимента. Метод с использованием биолюминесцентных бактерий дает возможность определить патулин с концентрацией 0,63 мг/л за 1 ч анализа. Для бифентрина минимальный порог чувствительности сенсора с использованием дафний составлял 0,01 мг/л за 3 ч и 0,0001 мг/л за 24 ч эксперимента.

Разработанный метод определения токсичности объектов окружающей среды на основе регистрации уровня хемилюминесценции среды под действием продуктов жизнедеятельности *D. magna* и биолюминесценции *Ph. phosphoreum* В 7071 характеризуется стабильной воспроизводимостью и повышенной чувствительностью. Полученные результаты свидетельствуют об эффективности метода и целесообразности его использования.

На основе гетероперехода «CeO_x — монокристаллический кремний» были реализованы диодные структуры с высоким коэффициентом выпрямления

$K_{вып} = 4800$ и повышенной фоточувствительностью. Максимальная фоточувствительность наблюдалась для фотодиодных структур, пленка CeO_x, которых формировалась при температуре 200°C. Это дает основание считать, что при такой температуре формируется упорядоченная структура с минимальным количеством рекомбинационных центров, что и обеспечивает повышенную фоточувствительность как фоторезисторов, так и фотодиодов.

Нанокристаллические пленки оксида церия были успешно применены в качестве подзатворного диэлектрика ИСПТ для создания чувствительных, стабильных и надежных биосенсоров [7]. ИСПТ является мощным инструментом для изучения токсичного воздействия разных веществ, в том числе лекарственных препаратов и продуктов питания, на биохимические процессы, которые происходят в живом организме. ИСПТ способны регистрировать сложные химические и биологические процессы — перенос зарядов или окислительно-восстановительные реакции (например, механизмы ионного обмена и транспорта через мембранны). ИСПТ с нанокристаллической пленкой CeO_x были разработаны для создания высокоспецифических иммунных биосенсоров токсичности, принцип действия которых базируется на изменении pH среды в результате образования иммунного комплекса между антителом и микротоксином.

Чувствительность по току стока ИСПТ-структур с диэлектриком CeO_x составляет 1,4 мкА/рН, что вдвое больше по сравнению со структурами на основе SiO₂—Si₃N₄, а рН-чувствительность для диэлектрика CeO_x больше на 9,4 % и равна 58 мВ/рН, что близко к максимально возможной чувствительности для структуры «полупроводник — диэлектрик — раствор», так называемой Нернстовой чувствительности, которая составляет 59 мВ/рН. К тому же, если учитывать высокую химическую стойкость и простоту получения тонких пленок CeO_x, их можно считать весьма перспективными для использования в качестве ион-чувствительного материала ионоселективных по-

МАТЕРИАЛЫ ЭЛЕКТРОНИКИ

левых транзисторов — основного элемента мультисенсорных систем биомедицинского назначения, в частности, для определения концентрации токсичных веществ.

МДП-варакторы также используют как один из элементов сенсоров для определения пестицидов, ионов тяжелых металлов, глюкозы, мочевины, ионов H^+ , K^+ , Na^+ и др. В основе работы сенсоров данного типа лежит метод измерения высокочастотных вольт-фарадных характеристик. Адсорбция заряженных частиц, которые возникают в результате биохимической реакции, чувствительной поверхностью диэлектрика фиксируется с появлением сдвига вольт-фарадной характеристики вдоль оси напряжений. МДП-варакторы на основе нанокристаллических пленок оксида церия были выбраны для создания сенсоров, в которых осуществляется управление зарядом, образующимся в результате биохимической реакции [18]. К тому же, исследуемые МДП-структуры на основе нанокристаллических пленок оксида церия, полученных обоими методами, отличаются высокой стабильностью в исследуемом диапазоне частот (430 кГц — 1,26 МГц) благодаря отсутствию обмена электронными состояниями, локализованными на границе раздела «диэлектрик — полупроводник» [18].

Выводы

Таким образом, установлено, что нанокристаллические пленки оксида церия, полученные методом «взрывного испарения» при температуре подложки 200°C независимо от ее типа обеспечивают максимальную фоточувствительность фоторезисторов и МДП-фотодиодов, изготовленных на основе таких пленок. Это позволяет создавать новые типы чувствительных элементов биолюминесцентных сенсорных систем.

Из сравнения характеристик МДП-структур, изготовленных на основе пленок CeO_x , полученных разными методами, следует, что метод «окисления металлического зеркала» дает пленки с лучшими характеристиками, чем метод «взрывного испарения». Диэлектрическая проницаемость, коэффициент перекрытия по емкости, коэффициент выпрямления таких структур намного превосходят характеристики МПД-структур на основе SiO_2 .

Учитывая высокую химическую стойкость оксида церия, стабильность характеристик, а также простоту получения тонких пленок этого диэлектрика, можно считать разработанные сенсоры с рекордным среди аналогов значением рН-чувствительности перспективными для создания недорогих, портативных, высокочувствительных и надежных мультипараметрических приборов для экологического мониторинга, исследования воздействия токсичных агентов на разные химические и биологические процессы, для биомедицинских и других целей вместо распространенных сегодня типов дорогой, громоздкой, сложной аналитической аппаратуры.

ИСПОЛЬЗОВАННЫЕ ИСТОЧНИКИ

1. Patsalas P., Logothetidis S. Structure-dependent properties of nanocrystalline cerium oxide films // Physical Review.— 2003.— N 68.— P. 035104-1—035104-13.

2. Bertaux S., Reynders P., Heintz J-M. Sintering and color properties of nanocrystalline CeO_2 films // Thin Solid Films.— 2005.— N 473.— P. 80—88.
3. Skorodumova N. V., Ahuja R., Simak S. I. et al. Electronic, bonding, and optical properties of CeO_2 and Ce_2O_3 from first principles // Physical Review B.— 2001.— Vol. 64.— P. 115108—1—115108—9.
4. Shmyryeva A. N., Semikina T. V., Scurtul K. D. Composite cerium oxide thin films for oxygen and CO sensors // Book of Abstracts. Physical, Chemical and Biological Sensors, Fourth International Workshop “Russian technologies for industrial applications”.— Russia, St.-Petersburg.— 2000.— P. 32.
5. Шмырева А. Н. Микроэлектронные сенсоры для определения концентрации NO // Электроника и связь.— 2003.— № 18.— С. 104—107.
6. Shmyryeva A. N., Fursenko A. N., Semikina T. V. Fiber-optical sensor of acidity ambient (pH) metrology // J. Solid State Phenomena.— 1998.— № 63—64.— Р. 341—346.
7. Максимчук Н. В. Процеси взаємодії біохімічних комплексів з поверхнею плівки нанокристалічного оксиду церію // Сб. наук. трудов «Наносистеми, наноматеріали, нанотехнології».— Київ.— 2009.— Т. 7, № 3.— С. 813—824.
8. Шмырева А. Н., Максимчук Н. В. Фоторезистивные преобразователи для биолюминесцентных сенсорных систем // Электроника и связь.— 2007.— № 1.— С. 5—11.
9. Борисов А. В., Шмырева А. Н., Максимчук Н. В. Нанокристаллические пленки оксида церия для биолюминесцентных сенсорных систем // Сб. науч. трудов «Наносистемы, наноматеріали, нанотехнології».— Київ.— 2009.— Т. 7, № 1.— С. 245—254.
10. Максимчук Н. В., Борисов А. В., Шмырева А. Н. Фотоэлектрические процессы вnanoструктурных пленках оксида церия // Тр. междунар. симпозиума «Нанофотоника».— Украина, Ужгород.— 2008.— С. 54—55.
11. Bin Zhu, Changrong Xia, Xiaoguan Luo et al. Transparent two-phase composite thin film with high conductivity // Thin Solid Films.— 2001.— N 385.— P. 209—214.
12. Shmyryeva A. N., Dusheiko M. G., Scurtul K. D. Thermoelectrical properties of the cerium oxide semiconductor films // Extend Abstracts of 7th Joint Vacuum Conference of Hungary.— Austria, Croatia and Slovenia.— 1997.— P. 253.
13. Shmyryeva A. N., Semikina T. V., Dusheiko M. G., Scurtul K. D. New thin films oxide materials CeO_2 — ZnO for sensing // Book of Abstracts. Workshop «Sensors springtime in Odessa».— Odessa.— 1998.— P. 70—71.
14. Yushchenko A. V., Ilchenko V. V., Shmyryeva A. N., Telega V. M. The response of the heterostructure nanoscale layer CeO_2 — p —Si to the gas ammonia environment // Proceed. of the 1st International Conf. “Electronics and Applied Physics”.— Ukraine, Kiev.— 2005.— P. 100—101.
15. Шмырева А. Н. Микроэлектронные сенсорные системы // Электроника и связь.— 2005.— № 29.— С. 5—15.
16. Patsalas P., Logothetidis S., Metaxa S. Optical performance of nanocrystalline transparent ceria films // Applied Physics Letters.— 2002.— N 81.— P. 466—468.
17. Ющенко А. В., Ильченко В. В., Шмырева А. Н. и др. Формирование nanoструктурных пленок CeO_x , напыленных методом «взрывного» испарения на поверхности p-Si (100) // Proceed. of the 1st International Conf. “Electronics and Applied Physics”.— Ukraine, Kiev.— 2005.— Р. 102—106.
18. Максимчук Н. В., Міняло О. В., Прокопенко А. С. МДН-фотоварактори з плівкою оксиду церію // Збірник статей II конференції молодих вчених «Електроніка 2009». — Київ.— 2009.— Ч. 1.— С. 51—58.
19. Нанотехнологии в электронике / Под ред. Ю. А. Чаплыгина.— М.: Техносфера, 2003.
20. Мельник В. Г., Назаренко В. І., Стародуб М. Ф. та ін. Електронний біолюмінесцентний прилад для визначення токсичних речовин // Электроника и связь. Тематич. вып. «Проблемы электроники».— 2008.— Ч. 2.— С. 110—114.